

VYSOKÁ ŠKOLA STROJNICKÁ A TEXTILNÁ V LIBERCI
NOSITEĽKA RADU PRÁCE

fakulta textilná

obor 31 - 12 - 8

technológia textilu a odevníctva

zameranie

Naikané textílie - zušľachtovanie

Katedra chémie a zušľachtovania

36

Vzťahy medzi pohltivosťou žiarenia beta a úpravou textílie

Katarína Borbuliaková

Vedúci diplomovej práce : Ing. Hana Horynová, KCH VŠST Liberec

Konzultant : Ing. Jaroslav Šulc, KEZ VŠST Liberec

Rozsah práce a príloh :

Počet strán : 47

Počet príloh : -

Počet tabuľiek : 12

Počet obrázkov : 4

Počet grafov : 3

V Liberci dňa 27. mája 1983

Vysoká škola: strojní a textilní
Fakulta: textilní

Katedra: chemie a zušlechtování
Školní rok: 1982/83

DIPLOMOVÝ ÚKOL

pro s. Katarinu Borbuljakovou
obor 31 - 12 - 8 technologie textilu a oděvnictví

Protože jste splnil(a) požadavky učebního plánu, zadává Vám vedoucí katedry ve smyslu směrnic ministerstva školství a kultury o státních závěrečných zkouškách tento diplomový úkol:

Název tématu: Vztahy mezi pohltivostí β záření
a úpravou textilie

Pokyny pro vypracování:

1. Proveďte literární rešerši na dané téma
2. Na laboratorním fuláru zjistěte vážením množství nanesené lázně (tzv. mokrý přívažek)
3. Tytéž vzorky proměřte metodou založenou na zeslabení svazku záření β (prozařovací metodou) s cílem zjistit možnosti stanovení množství nanesené lázně
4. Statisticky vyhodnoťte přesnost stanovení množství nanesené lázně
5. Naznačte možnost použití prozařovací metody pro kontrolu množství nanesené lázně na kontinuálních linkách s napájecími prvkami
 - fulárem
 - mikronánosem
 - pěnovými systémyAutorské právo se týká směnícemi MŠK pro státní záv. zkoušky č.j. 31 727/62-III/2 ze dne 13. července 1962-Věstník MŠK XVIII, sešit 24 ze dne 31.8.1962/619, vyd.z. č. 115/53 Sb.
6. Vyjádřete ekonomický přínos aplikace uvedené radionuklidové měřicí metody při aplikaci technologie mikronánosu ze řídkém desky.

(Pozn. Všechny údaje v diplomové práci musí odpovídat mezinárodní soustavě SI podle ČSN 01 1300).

VYŠOKÁ ŠKOLA STROJNÍ A TEXTILN.

Ústřední knihovna

LIBERECKÝ STUDENTSKÝ

V 285/83 T

Rozsah grafických prací:

Rozsah průvodní zprávy: 30 - 40 stran

Seznam odborné literatury:

Halá, L. : Meranie plošnej hmotnosti prežiarovacou metódou.
(Diplomová práce) Liberec, 1981, VŠST

Vedoucí diplomové práce: Ing. Hana Horynová

Konsultanti: Ing. Jaroslav Šulc, VŠST Liberec

Datum zadání diplomového úkolu: 30. 9. 1982

Termín odevzdání diplomové práce: 27. 5. 1983



za J. Edvalík
Vedoucí katedry

Děkan

Mey

P R E H L Ā S E N I E

Miestopísané prehlasujem, že diplomovú prácu sám vypracovala samostatne
s použitím uvedenej literatúry.

V Liberci dňa 27.mája 1983

Tatérina Borůvková

Úvodom by som chcela poďakovať svojmu konzultantom s. Ing. Jaroslavovi Šulcovovi za cenné rady a prípomienky, ktoré mi poskytol pri vypracovaní diplomovej práce a tiež s. Danuši Stekľej a s. Františkovi Gártnerovi.

O B S A H

	strana
Zoznam použitých skratiek a symbolov	2
I. Úvod	5
II. Teoretická časť	7
II.1. Prežiarovacia metóda – obecné	7
II.1.1. Žiarenie beta, absorbcia žiarenia beta	7
II.1.2. Zdroje žiarenia, žiariče beta	8
II.1.3. Štatistické kolísanie aktivity	9
II.1.4. Rádioidzotopné meracie prístroje a ich citlivosť	11
II.1.5. Hmotnosný súčiniteľ zoslabenia zvážku žiarenia	13
II.2. Klocovanie na fulári	15
II.2.1. Stupeň odmačku	16
III. Experimentálna časť	18
III.1. Použitý rádioidzotopný merací prístroj	18
III.2. Príprava vzorkov textilií pre meranie	19
III.3. Zloženie farbiacich látok	21
III.4. Použitý fulár	23
III.4.1. Stanovenie závislosti stupňa odmačku na prítlaku vyvodenom medzi valcami fuláru	24
III.5. Meranie plošnej hmotnosti textilií prežiarovacou metódou	29
III.5.1. Postup merania	29
III.5.2. Tabuľky nameraných a vypočítaných hodnôt	32
III.5.3. Prehľad použitých vzťahov	36
IV. Experimentálne výsledky a diskusia	37
V. Záver	45
VI. Oboznámenie s autorskými nárokmi	46
VII. Použitá literatúra	47

Zoznam použitých skratiek a symbolov

A ... hmotnosťné čísla

A_k ... aktívita zdroja

C ... konštantá nezávislá na atómovom číslle

e ... označenie elektrónu

E ... energia žiariča

E_{max} ... maximálna energia použitého žiariča

I ... tok žiarenia po priechode vrstvou meraného materiálu o plošnej hmotnosti $m = 0$

\bar{T}_β ... stredná hodnota výstupného signálu zvžizku žiarenia beta pre dokonale tienený žiarič

\bar{T}_β' ... stredná hodnota výstupného signálu pre zvžizok žiarenia beta zoslabený iba prechodom vzduchovou vrstvou korigovaný vzhľadom k pozadiu detektora

$\bar{T}_{\beta f}$... stredná hodnota výstupného signálu po priechode vzduchovou vrstvou medzi zdrojom žiarenia beta a detektorm

\bar{T}_s ... stredná hodnota výstupného signálu odpovedajúceho zoslabeniu žiarenia beta po priechode neofarbenou textíliou korigovaný vzhľadom k pozadiu detektora

\bar{T}_{sf} ... stredná hodnota výstupného signálu zoslabeného zvžizku žiarenia beta po priechode neofarbenou textíliou

\bar{T}_t ... stredná hodnota výstupného signálu odpovedajúceho zoslabeniu zvžizku žiarenia beta po priechode ofarbenou textíliou korigovaný vzhľadom k pozadiu detektora

\bar{T}_{tf} ... stredná hodnota výstupného signálu odpovedajúceho zoslabeniu zvžizku žiarenia beta po priechode ofarbenou textíliou

m ... plošná hmotnosť meraného materiálu

m_1 ... pôvodná hmotnosť textílie pred klocováním

m_2 ... hmotnosť textílie po naklcovaní a odmačknutí

m_i ... hmotnosť i - tého meraného vzorku

m_s ... plošná hmotnosť neofarbenej textílie

m_t ... plošná hmotnosť ofarbanej textílie

n ... celkový počet meraných hodnôt

N ... počet prítomných jadier určitého druhu

\bar{N} ... aritmetický priemer všetkých nameraných hodnôt

N_i ... i - tá nameraná hodnota

α ... stupeň odmačku

p_i ... hmotnostný podiel i - tej komponenty

S ... citlivosť rádiorezistorových meracích prístrojov

t ... doba merania

w ... stupeň odmačku

\bar{w} ... stredná hodnota stupňa odmačku

Z ... atómové číslo izotopu

Z_i ... atómové číslo i - tej komponenty

\bar{Z} ... stredné atómové číslo

ba ... bavlna

ba/PES ... zmes balvny a polyestera

PES ... polyester

prop. ... proporcionalna

štat. ... štatistická

Δw ... chyba určenia odmačku

λ ... rozpadová konštanta

μ ... hmotnostný súčinatel' zoslabenia zvìžku žiarenia beta

μ_b ... hmotnostný súčinatel' zoslabenia zvìžku žiarenia beta farbivom

μ_s ... hmotnostný súčinatel' zoslabenia žiarenia beta textiliou

σ_{μ_s} ... smerodatná odchýlka strednej hodnoty hmotnostného súčiniteľa zoslabenia žiarenia beta textiliou

σ_w ... smerodatná odchýlka určenia stupňa odmačku

σ_{T_s} ... smerodatná odchýlka výstupného signálu I_s

σ_{T_t} ... smerodatná odchýlka výstupného signálu I_t

τ ... polčas rozpočtu

I. ÚVOD

Rozvoj socialistickej spoločnosti a neustály rast životnej úrovne nevyhnutne vyžaduje rast hmotnej výroby, produktivity práce a vedeckotechnického rozvoja. Základné smery rozvoja výroby jednotlivých rezortov boli stanovené na XVI.zjazde KSČ. V uznesení XVI.zjazdu KSČ je stanovený proporcionalny rozvoj výroby podľa potrieb našej spoločnosti v 7.päťročnici, ale už so zameraním vytvoriť potrebné predpoklady pre 8.päťročnicu.

Hlavným cieľom rozvoja priemyselnej výroby ČSSR je vytváranie podmienok pre uspokojovanie a zaistenie potrieb domáceho trhu, výrobnej a spoločenskej spotreby a tvorba devízových prostriedkov.

Textilný a konfekčný priemysel je jedným s popredných odvetví, zaistujúcich uspokojovanie vnútorných potrieb a rastu životnej úrovne v súčasnosti, ale aj v ďalších rokoch.

U textilného a odevného priemyslu stále rastú požiadavky na "módnosť", na bohatosť sortimentu, na vyššiu estetickú hodnotu, na vyššiu kvalitu a užitkové vlastnosti, umožňujúce ľahšiu a rýchlejšiu údržbu. Hlavné úlohy textilného a odevného priemyslu pri plnení uvedených požiadaviek vyplývajú z hospodárskej politiky strany. Modernizácia a rýchle rekonštrukcia prevádzok, najmä tých, ktoré tvoria v textilnom a odevnom priemysle z hľadiska kvalitatívneho a hospodárskeho rozhodujúci článok celkovej textilnej a konfekčnej výroby, je tiež dôležitou úlohou týchto odvetví spotrebenného priemyslu.

Pri zabezpečovaní estetického vzhľadu a kvality všetkých druhov textílií má významné miesto zušľachťovanie textílií. Je jedným zo záverečných stupňov textilnej výroby, v ktorom dodávame textiliám vhodnejšie vlastnosti pre daný účel použitia. Zušľachťovanie má zaručiť čo najlepšiu akosť, ale tiež čo najlepšie hospodárenie s energiou všetkého druhu, ako i zaistovať priaznivé životné podmienky. Zlepšovanie pracovných podmienok je súčasťou plnenia výrobných úloh, pretože zo všetkých stupňov textilnej výroby je práve v procese zušľachťovania najväčší výskyt škodlivín.

Jedným z významných ukazateľov kvality textílií je plošná hmotnosť. Táto diplomová práca sa zaobrámeraním plošnej hmotnosti textílií prežiarovacou metódou. Význam tejto metódy spočíva v tom, že umožňuje bezdotykovovo zistovať plošnú hmotnosť materiálov a výrobkov v ktorakolvek fázy technologického procesu bez jeho prerušenia.

Z pozorovania niektorých doteraz publikovaných prác týkajúcich sa merania plošnej hmotnosti prežiarovacou metódou vyplýva, že uvádzané výsledky majú len obmedzenú platnosť a sú do značnej miery špecifické pre experimentálne usporiadanie použitej jednotlivými autorami. Z tohto dôvodu pri kvantitatívnom hodnotení zvolenej metódy treba vychádzať z výsledkov meraní zistených pri konkrétnom usporiadani radiačného a detekčného systému.

Cieľom tejto diplomovej práce bolo posúdiť vplyv zušľachťovacích operácií a množstva nánosu zušľachťovacej lázne na substrát pri meraní plošnej hmotnosti textílií zoslabením zvězku žiarenia beta, zistiť, s akou presnosťou zachytí prežiarovacia metóda rôzne množstvo zušľachťovacej lázne aplikovanej na textilnom materiáli.

II. TEORETICKÁ ČASŤ

III. 1. Prežiarovacia metóda - obecné

Rádiaktívne žiarenie /alfa, beta a gama/ sa pri priechode vrstvou materiálu zadrží, absorbuje alebo rozplytí. Žiarenie, ktoré prešlo vrstvou materiálu, sa od pôvodného žiarenia líši svojím zoslabením, t.j. počtom častíc /alebo fotónov/, spektrom energie alebo sbojím. Tieto zmeny je možné merať a môžu sa použiť pre údaje o vlastnostiach vrstvy hmoty - predovšetkým o jej hrúbke, hustote a plošnej hmotnosti.

Pre jednoduchosť možno v prvom približení predpokladať, že závislosť toku žiarenia na plošnej hmotnosti meraného materiálu je daná vzťahom :

$$I = I_0 \cdot \exp^{-\mu \cdot m} \quad / \text{III. 1.} /$$

kde : I ... tok žiarenia po priechode vrstvou meraného materiálu o plošnej

$$\text{hmotnosti } m > 0 \text{ / V /}$$

$$I_0 \dots \text{tok žiarenia pre } m = 0 \text{ / V /}$$

$$m \dots \text{plošná hmotnosť meraného materiálu / kg} \cdot \text{m}^{-2} /$$

$$\mu \dots \text{hmotnostný súčiniteľ zoslabenia zväzku žiarenia beta / m}^2 \cdot \text{kg}^{-1} /$$

III. 1.1. Žiarenie beta, absorbcia žiarenia beta

Rozpad beta sa neobmedzuje iba na jadro s vysokými nábojmi. Rozhodujúcim znakom tejto skupiny rádioaktívnych reakcií je premena nukleónu v jadre na iný nukleón, t.j. premena neutrónu na protón alebo protóny na elektrón.

Tri varianty rozpadu beta môžu byť schématicky vyjadrené takto :

$$1/ \text{ negatronový rozpad } \begin{pmatrix} A \\ Z \end{pmatrix} = \begin{pmatrix} A \\ Z+1 \end{pmatrix} + {}_{-1}e^0$$

$$2/ \text{ pozitronový rozpad } \begin{pmatrix} A \\ Z \end{pmatrix} = \begin{pmatrix} A \\ Z-1 \end{pmatrix} + {}_{+1}e^0$$

$$3/ \text{ záhytenie elektrónu } \begin{pmatrix} A \\ Z \end{pmatrix} + _{-1}e^0 = \begin{pmatrix} A \\ Z-1 \end{pmatrix}$$

Z ... atómové číslo izotopu

A ... hmotnosné číslo

e ... označenie elektrónu

Častice beta, ako bolo experimentálne dokázané, majú už pri emisii rôznu rýchlosť a energiu. Jeden a ten istý druh rádioaktívnych jadier emituje častice beta, ktorých energia môže mať akúkoľvek hodnotu medzi nulou a určitou presne definovanou maximálnou hodnotou, ktorá je v tabuľkách uvádzaná ako hodnota energie žiarenia beta pre každý jednotlivý prvk. Tieto rozdelenia energie závisia na tom, že sa ihneď pri rozpade beta tvoria tri častice – výsledné jadro, častice beta a neutríno. Častice beta vzhľadom k svojej nepatrnej hmotte môžu strácať už značné podiely svojej energie pri jednotlivých nárazoch na elektróny atómového obalu.

Často sa stane, že elektrón stratí veľkú časť svojej energie a pritom sa značne vyšinie zo smeru pohybu, preto nie sú dráhy častice beta priame, ale majú tvar mnohokrát založených kriviek.

Vzhľadom k zložitosti absorbčných pochodov možno ľahko teoreticky vypočítať z rovnobežného zväzku žiarenia počet častic, ktoré prejdú vrstvou určitej hrúbky. Napriek tomuto bolo zistené, že pre určitý rozsah absorbčnej hrúbky sú experimentálne zistené dátá dobré vystihnuté jednoduchým exponenciálnym vzťahom / 1. 1/.

II. 1.2. Zdroje žiarenia, žiariče beta.

Všeobecných hľadiškom pre zdroje žiarenia je snaha dosiahnuť čo možno stálej intenzity žiarenia. Pri použití rádioaktívnych izotopov ako zdrojov žiarenia volíme látky s dlhým polčasom rozpada.

Pri výbere rádioaktívneho izotópu ako zdroja žiarenia pre meranie prežiarovacou metódou je nutné prihliadať predovšetkým k dvom protichodným stanoveniskám :

na jednej strane je za danej presnosti meranie hrúbky tým nepresnejšie, čím menší je absorbčný koeficient žiarenia, teda čím väčšia je energia žiarenia. Na druhej strane príliš veľký absorbčný koeficient spôsobuje to, že len malý zlomok žiarenia vyslaného zdrojom dôjde až k meraciemu prístroju. Potom je nutné použiť veľmi silných žiaričov.

Bol už predložený podrobny matematický rozbor týchto vzťahov a vzorce pre volbu energie žiarenia a intenzity žiaričov. Najčastejšie sa pre meranie hrúbky používajú žiariče beta.

Tabuľka II. 1. dáva prehľad používaných rádioaktívnych izotópov.

Izotop	Polčas rozpadu / roky /	Max.energia častic beta / MeV /	Poločrúbka /kg . m ⁻² /
¹⁴ C	5 760	0,155	27
¹⁴⁷ Pm	2,6	0,22	45
⁸⁵ Kr	10,6	0,67	250
²⁰⁴ Tl	3,9	0,77	250
⁹⁰ Sr ⁹⁰ Y	28	2,25	1 200

Tabuľka: II.1. Prehľad používaných rádioaktívnych izotópov pre meranie plošnej hmotnosti materiálov.

Izotopy sú usporiadané podľa narastajúcej energie žiarenia.

II. 1. 3. Štatistické kolisanie aktivity.

Pri rádioaktívnych procesoch je nutné zdôrazniť takzvanú štatistickú povahu týchto javov. Zákony rádioaktívneho rozpadu sú vyjadrením vzťahov pravdepodobnosti. Mnohonásobná skúsenosť jednoznačne ukázala, že pri každom druhu rádioaktívneho rozpadu, je pravdepodobnosť, že sa v nasledujúcej sekunde

rozpadne, ore každé jednotlivé jadro, vyjadrená konštantou, ktorá je charakteristická pre určitý druh atómových jadier. Táto pravdepodobnosť je označovaná ako rozpadová konštantá λ .

Pozorovaním dostatočného počtu týchto pochodov sa zistí presne hodnota pravdepodobnosti, takže vychádza počet rozpadov za každú sekundu, teda pre aktivity zdroja, základný vzorec :

$$A_k = \lambda \cdot N \quad / 11.2./$$

A_k ... aktivita zdroja

λ ... rozpadová konštantá

N ... počet prítomných jadier určitého druhu

Hodnota N samozrejme behom času klesá.

V praxi sa označuje rýchlosť rozpadu rádiaktívnych prvkov miesto rozpadovej konštanty λ najčastejšie polčasom rozpadu T . Je to čas, za ktorý sa počet aktívnych atómov zníži vzhľadom k východzej hodnote na polovicu.

Polčas rozpadu a rozpadová konštantá spolu súvisia vzťahom :

$$T = \ln \frac{2}{\lambda} = 0,693 \quad / 11.3./$$

Pri skutočnom meraní v priebehu niekoľkých minút sa zistia niekedy väčšie, niekedy menšie hodnoty. Priemerná relatívna odchýlka od strednej hodnoty bude tým väčšia, čím menšia bude aktivita vzorku. Odchýlka určitej veľkosti od strednej hodnoty bude tým vzácnejšia, čím väčšia bude táto odchýlka.

Mierou odchyliek meraní môže byť všeobecne tzv. stredná chyba m, ktorá je definovaná vzťahom :

$$m = \pm \sqrt{\frac{\sum (N_i - \bar{N})^2}{n}} \quad / 11.4./$$

\bar{N} ... aritmetický priemer všetkých nameraných hodnôt

N_i ... i - tá hodnota

n ... celkový počet meraných hodnôt

m ... stredná chyba

Pri meraní aktivít podliehajú namerané hodnoty Poissonovmu rozdeleniu, pri platnosti ktorého je stredná chyba daná vzťahom :

$$m = \pm \sqrt{t + N} \approx \pm \sqrt{t \cdot N} \quad / 11.5./$$

\bar{N} ... stredná aktivita

N ... ľubovoľná nameraná hodnota

t ... doba merania

Pri väčších aktivitách nadobúda Poissonovo rozdelenie tvar Gaussovej krivky, ktorá prakticky znázorňuje strednú chybu.

II. 1.4. Rádioizotopné meracie prístroje a ich citlivosť

Presnosť rádioaktívnych meraní závisí predovšetkým na presnosti a spoľahlivosti použitých meracích prístrojov. Preto boli vyvinuté špeciálne prístroje, ktoré zistujú už veľmi malé rozdiely v intenzite žiarenia, pracujú s veľmi dobrou reproduktívnosťou. V týchto prístrojoch sa používa väčšinou ionizačných komôr.

Aby sme dosiahli údaje čo najpresnejšie, nezosilňujeme obvykle celý ionizačný prúd, ale kompenzujeme toto napätie konštantným zravnávacím napätiom a zosilňujeme len rozdiel oboch napätií.

Citlivosť S rádioizotopných meracích prístrojov pre meranie plošnej hmotnosti býva definovaná vzťahom :

$$S = \frac{\frac{dI}{I}}{\frac{dm}{m}} \quad / 11.6./$$

Presnosť merania je určená niekoľkými zdrojmi chýb, ktoré môžu byť rozdelené do štyroch skupín :

1. Chyba spôsobená rádioaktívnym rozpadom mechanickou nestabilitou a zmenami účinnosti detektora a zisku zosilňovača.

Tieto chyby sú úmerné veľkosti toku jadrového žiarenia a vyjadrujú sa ako $k_1 \cdot I$, kde k_1 je konštanta.

2. Chyby vplyvom štatistickej fluktuácie toku jadrového žiarenia.

Tieto chyby sú úmerné \sqrt{I} a sú vyjadrené ako $k_2 \cdot \sqrt{I}$.

3. Chyby spôsobené posuvom nuly, ktoré nezávisia na veľkosti toku jadrového žiarenia a môžu byť vyjadrené konštantou k_3 .

4. Chyby spôsobené prítomnosťou ostatných absorbujúcich materiálov / napr. prach /.

Výbera optimálnej energie žiariča bola diskutovaná niekoľkými autorami /1./ a rozdiely sú v spôsobené prevažne vplyvom odlišne definovanej citlivosti. Avšak nižšie uvedený postup bol univerzálne prijatý.

Pre homogénny materiál o plošnej hmotnosti m a hmotnosťnom súčinom zoslabenia zvádzku žiarenia beta μ zo vzťahu /1.1./ plynie, že :

$$S = \left(\frac{\frac{dI}{I}}{\frac{dm}{m}} \right) = \mu \cdot m \quad /1.7./$$

Odtiaľ pre relatívnu chybu meranej veličiny m plynie :

$$\left(\frac{dm}{m} \right) = - \frac{1}{\mu \cdot m} \cdot \left(\frac{dI}{I} \right) \quad /1.8./$$

Z čoho vyplýva, že je úmerná relatívnej chybe výstupného signálu.

Relativnu chybu meranej veličiny odpovedajúcu prvým trém z uvedených chýb možno vyjadriť nasledujúcim spôsobom.

Relativna proporcionalna chyba / $dI = k_1 \cdot I$ / je daná vzťahom :

$$\left(\frac{dm}{m} \right) \text{ prop.} = \frac{k_1}{\mu \cdot m} \quad /1.9./$$

Táto chyba sa zmenšuje so zvyšujúcou sa veľkosťou hmotnosťného súčiniteľa zvádzku žiarenia.

Relativna štatistická chyba spôsobená vplyvom štatistickej fluktuácie toku jadrového žiarenia $I / dI = k_2 \cdot \sqrt{I}$ / je vyjadrená vzťahom :

$$\left(\frac{dm}{m} \right) \text{ štat.} = \frac{\frac{\sigma_{\mu \cdot m}}{2}}{k_2 \cdot \exp. \cdot \mu \cdot m \cdot \sqrt{I}} \quad /1.10./$$

a nadobúda minimálne hodnoty pre $\mu \cdot m = 2.$

Relatívna chyba spôsobená posuvom nuly /dl = k₃/ je vyjadrená vzťahom :

$$\left(\frac{dm}{m} \right)_{\text{nula}} = \frac{k_3 \cdot \exp^{-\mu \cdot m}}{\mu \cdot m + l_0} \quad /11.11./$$

Táto chyba nadobúda minimálne hodnoty pre $\mu \cdot m = 1.$

II. 1.5. Hmotnosný súčinieľ zoslabenia zväzku žiarenia

S prihliadnutím k uvedeným troma základným chybám, ktoré sú vyjadrené vzťahmi /11.9./, /11.10./ a /11.11/, sa pre praktické meranie doporučuje voliť hodnotu hmotnosného súčinieľa zoslabenia zväzku žiarenia tak, aby platila : $0,3 \leq \mu \cdot m \leq 3$

Z tohto vzťahu vyplýva, že najlepších výsledkov merania plošnej hmotnosti materiálov v rozmedzí $0,050 - 0,300 \text{ /kg} \cdot \text{m}^{-2}$ možno zistiť použitím takého žiariča, ktorého hmotnosný súčinieľ zoslabenia zväzku žiarenia sa bude pohybovať v intervale $10^{-6} - 60 \cdot 10^{-6} \text{ /m}^2 \cdot \text{kg}^{-1}.$

Veľkosť hmotnosného súčinieľa zoslabenia zväzku žiarenia beta možno orientačne uvažovať podľa maximálnej energie použitého žiariča $E_{\max} \text{ /MeV/}$ na základe empirického vzťahu :

$$\mu = \frac{22}{E_{\max}^{1,33}} \quad /11.12./$$

Tento vzťah však nevyjadruje vplyv atomového čísla absorbčného prostredia na hodnotu hmotnosného súčinieľa zoslabenia zväzku žiarenia beta a tak isto nerespektuje vplyv geometrického usporiadania radiačného a detekčného systému.

Vplyv vzdialenosťi meraného materiálu od kolimačného krytu na veľkosť hmotnosného súčinieľa zoslabenia zväzku žiarenia beta pri konštantnej vzdialnosti zdroja žiarenia od detektora je sledovaný v práci /2./.

Výsledkov tejto práce vyplýva, že veľkosť hmotnosného súčinieľa zoslabenia zväzku žiarenia beta s rastúcou vzdialosťou meraného materiálu od kolimačného

krytu monotonne klesá v dôsledku čoho klesá i citlivosť merania plošnej hmotnosti materiálov.

Vplyv atómového čísla absorbčného prostredia na veľkosť hmotnostného súčiniteľa zoslabenia zvýzku žiarenia beta bol sledovaný napr. v prácach /3., 4./. Podľa práce /3./ je závislosť hmotnostného súčiniteľa zoslabenia zvýzku žiarenia beta na atómovom čísle Z vyjadrená nasledovne :

$$\mu/Z = 15,2 \cdot \frac{\frac{4}{Z^3}}{A} \cdot E^{-1,485} \quad /11.13./$$

kde :

A ... atómová hmotnosť

Z ... atómové číslo

E ... energia žiariča

Podľa práce /4./ platí pre vyjadrenie závislosti hmotostného súčiniteľa zoslabenia zvýzku žiarenia beta na atómovom čísle vzťah :

$$\mu/Z = C \cdot \exp \frac{1}{8} \sqrt[8]{Z} \quad /11.14./$$

kde :

Z ... atómové číslo

C ... konštantá nezávislá na atómovom čísle Z

Oba tieto vzťahy boli odvodene experimentálne zo zistených hodnôt pre absorbujuče materiály tvorené čistými elementami.

Pri zoslabení zvýzku žiarenia beta zloženými z niekoľkých prvkov je možné absorbčné prostredie charakterizovať prostredníctvom stredného atómového čísla, ktoré klesá v súlade s výsledkami uvedenými v práci /3./ je možné vyjadriť vzťahom :

$$\bar{Z} = \sum p_i \cdot z_i \quad /11.15./$$

kde :

\bar{Z} ... stredné atómové číslo

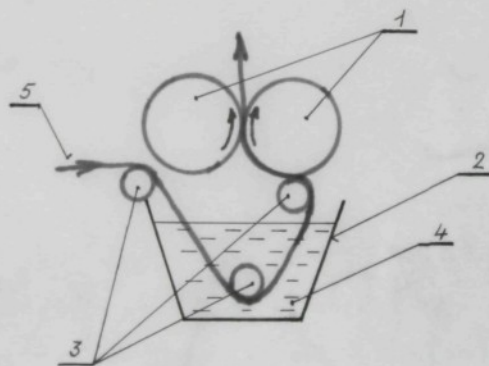
Z_i ... atómové číslo i - tej komponenty

p_i ... hmotnostný podiel i - tej komponenty

II. 2. Klucovanie na fulári

Farbiaci fulár patrí v súčasnej dobe medzi najrozšírenejšie strojové zariadenie v prevádzkach zušľachtovania plošných textílií a je súčasťou mnohých kontinuálnych a polokontinuálnych zušľachtovacích a predovšetkým farbiacich liniek.

Pomocou fulára možno farbiť i husto dosťavení tkaniny na svetlé aj tmavé odťiene. Rôzne konštrukcie fulára sa od seba môžu líšiť, napr. usporiadanim a počtom ždímacích valcov, tvarom korýtku, počtom vodiacich valčekov.



Obr. II.1. Základné schéma dvojvalcového fuláru

1 ... ždímacie valce

2 ... korýtko / žlab /

3 ... vodiace palčaky

4 ... farbiaca lázeň

5 ... plošná textília

Použitím fuláru sú splnené dve funkcie :

- 1/ Impregnačná, kedy textília prechádza farbiacou lázňou / alebo inou zušľachtovacou lázňou /
- 2/ Odmačkávacia, kedy valce fuláru odstraňujú prebytok lázne z textílie a zaistujú, aby v každej plošnej jednotke textílie bolo rovnaké množstvo naklodennej lázne.

II. 2.1. Stupeň odmačku

Pri použití fuláru sa množstvo zadržanej zušľachtovacej lázne v textilií využadruje ako stupeň odmačku. Suchá textília klocovaná na fulári prijíma časť lázne a časť sa vracia do korýtku. Množstvo lázne zadržanej textíliou sa vyjadruje v percentách z hmoty tkaniny pred naklodením a označuje sa ako stupeň odmačku, čo vyjadruje vzťah :

$$\sigma = \frac{m_2 - m_1}{m_1} \cdot 100 \% \quad / \text{II.16.} /$$

kde :

σ ... stupeň odmačku

m_1 ... pôvodná hmotnosť textílie / pred klocovaním /

m_2 ... hmotnosť textílie po naklodení a odmačknutí

II. 2.2. Závislosť medzi zoslabením zväzku žiarenia beta a stupňom odmačku

Závislosť toku žiarenia na množstve nanesenej lázne na textíliu zo vzťahu /II.1./ možno vyjadriť takto :

$$I_t = I_s \cdot \exp^{-\frac{C_b \cdot \sigma \cdot m_s}{100}} \quad / \text{II.17.} /$$

odtiaľ po úprave plynie vzťah pre stanovenie hmotnostného súčiniteľa zoslabenia farbiva :

$$\mu_b = \frac{100}{\alpha \cdot m_s} \cdot \ln \frac{I_s}{I_t} \quad /11.18./$$

kde :

μ_b ... hmotnosťný súčiniteľ zoslabenia farbiva / $m^2 \cdot kg^{-1}$ /

α ... stupeň odmačky / % /

m_s ... plošná hmotnosť nefarbenej textilie / $kg \cdot m^{-2}$ /

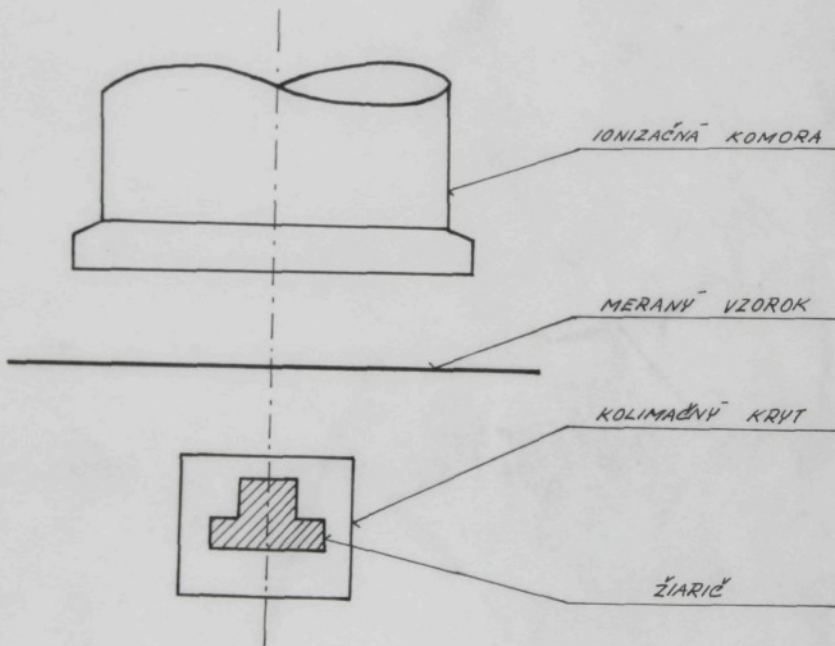
I_s ... výstupný signál odpovedajúci zoslabeniu zväzku žiarenia beta po prie-
chode nefarbenou textíliou / V /

I_t ... výstupný signál odpovedajúci zoslabeniu zväzku žiarenia beta po prie-
chode ofarbenou textíliou / V /

III. EXPERIMENTÁLNA ČASŤ

III.1. Použitý rádioizotopený merací prístroj

Vlastné meranie plošnej hmotnosti textílií prežiarovacou metódou bolo uskutočnené na zariadení, ktoré schématicky znázorňuje obrázok III.1.



Obr. III.1. Schéma zariadenia pre meranie plošnej hmotnosti textílií

Ako zdroj žiarenia beta bol použitý ^{85}Kr s maximálnej energii častic beta $E_{\max} = 0,67 \text{ /MeV/}$ a polčase rozpadu $T_{1/2} = 10,7 \text{ rokov}$. Aktivita žiariča bola približne 370 /MBq/ . Použitý žiarič bol vyrobený anglickou firmou Radiochemical Centre Amersham a v kóde výrobcu je značený ako KAC-3. Pri meraní bol žiarič umiestnený v trojdielnom kolimačnom kryte.

Zvážok žiarenia bol vyclonený tak, aby priemer zvážku žiarenia beta v mieste dopadu na vstupné okienko detektora bol rovný priemeru okienka pri vzdialosti od kolimačnej časti k opornej maske okienka detektora $h = 60 \text{ /mm/}$. Vzdialenosť detektora od kolimačného krytu bola volená v súlade s daporušeniami uvedenými v práci /5./.

K detekcii žiarenia bola použitá ionizačná komora IKP 150/80. Ionizačná komora sa skladá z ocelového plášta, na čele ktorého bolo umiestnené okienko z hliníkovej fólie chránené vekom s otvormi. Plošná hmotnosť okienka bola $\leq 26 \text{ /mg} \cdot \text{cm}^{-2} /$. Pracovnou náplňou ionizačnej komory bol argón o absorlútnom tlaku $0,2 \text{ / MPa/}$.

Pre zosilnenie ionizačného prúdu bol podľa schématu uvedeného v práci /6/ zostavený jednosmerný elektrometer s integrovaným operačným zosilovačom MAA 725B a dvojicou MOS tranzistorov KC 507 vo vstupnom obvode. Zisk elektrometra bol spätnou väzbou nastavený tak, že v popísanom geometrickom usporiadani kolimačného krytu a detekčnej časti bolo jeho výstupné napätie pre zvážok žiarenia beta zoslabením len priečodom vzduchovou vrstvou medzi žiaričom a detektorem $I_o = 4,2 \text{ /V/}$.

Výstupné napätie s elektrometra bolo merané dígitálnym voltmetrom IDV 1200.

III.2. Príprava vzorkov textilií pre meranie

Pre vlastné meranie boli k dispozícii tri druhy textilného materiálu. Z každého druhu textílie bolo na vyrážiacom lise pripravených 18 vzorkov kruhového prierezu s priemerom $d = 11,28 \text{ /cm/}$, teda s ploche $100 \text{ /cm}^2 /$.

Vzorky každého z troch druhov materiálu boli rozdelené do dvoch skupín po deviatich vzorkach, pretože v ďalšom postupe bol každý druh textelného materiálu farbený dvomi farbiacimi látčami.

Plošná hmotnosť bola určená vážením na analytickej vágach a z plošných hmotností jednotlivých vzorkov bola aritmetickým priemerom stanovená priemerná plošná hmotnosť $\bar{m}_1 / \text{kg} \cdot \text{m}^{-2}$ pre jednotlivé skupiny textilných materiálov. Prehľad použitých druhov textelného materiálu, ich rozdelenie do skupín a zodpovedajúcich hodnôt priemerných plošných hmotností poskytuje tabuľka III.1.

Skupina vzorkov	Druh textílie	Typ plošnej textílie	Priemerná plošná hmotnosť $\bar{m}_1 / \text{kg} \cdot \text{m}^{-2}$
1.	ba	tkanina	0,15995
2.	ba	tkanina	0,16148
3.	PES	pletenina	0,18643
4.	PES	pletenina	0,18648
5.	ba/PES	tkanina	0,16531
6.	ba/PES	tkanina	0,16547

Tabuľka III.1. Prehľad textílií použitých pre meranie

V prípade vzorkov z bavlny a zo zmesí bavlny a poljesteru sa jednalo o tkaniny s jednoduchou plátnovou väzbou a u vzorkov z polyestera sa jednalo o pleteninu so zátažnou obojlicou väzbou – interlokovou.

U zmesového materiálu ba/PES bolo stanovené kvantitatívne zloženie zmesi tzv., že boli na základe experimentálnych meraní jemnosti bavlnených a polyestrových vláken a ich početných percent výskytu v danej zmesi určené hmotnostné percentá oboch komponent v zmesi ba/PES. Bola určená tzv. manipulácia zmesi. Toto stanovenie bolo uskutočnené podľa ČSN 800067 /"Stanovenie podielu textilných vláken v zmesiach"/. Z výsledkov vyplýva, že sa jednalo o zmes :

osnova 35,55 ba/64,45 PES

útok 41 ba/59 PES

III.3. Zloženie farbiacich lázni

Ako už bolo uvedené v predchádzajúcej kapitole III.2., vzorky každého z troch druhov textilného materiálu boli rozdelené do dvoch skupín. Každá skupina vzorkov bola farbená farbiacou lázňou odlišného zloženia.

Nasledujúci prehľad poskytuje informácie o ich zložení. Pri jednotlivých lázňach sú uvedené i materiály a skupiny vzorkov nimi farbené. Sú zoradené podľa poradia tak, ako bolo s nimi pri ďalších meraniach uskutočňované farbenie jednotlivých skupín vzorkov.

ba - 1. skupina vzorkov

40 g/l /3g/ ostazinové H - farbivo, bola použitá Ostazinová brillantná modrá H - BR

50 - 200 g/l /20g/ močovina

20 g/l /4g/ sóda kalciovaná

teplota klocovania : 30⁰C

ba - 2. skupina vzorkov

40 g/l /3g/ ostazinové H - farbivo, bola použitá Ostazinová brillantná červen H - B

2 - 5 g/l /1g/ Tiskan

50 - 100 g/l /10g/ alginátová záhustka

20 g/l /4g/ sóda kalciovaná

50 - 200 g/l /20g/ močovina

teplota klocovania : 30⁰C

PES - 3. skupina vzorkov

40 g/l /8g/ ostacetové farbivo, bola použitá Ostacetová brilantná červeň E - LB
0,2 - 0,5 g/l /0,lg/ Slovasol 0

35 - 45 g/l /8g/ Sokrat /záhustka na bázy kyseliny metakrylovej/
pH 6 - 6,5 kyselinou octovou

teplota klocovania : 20⁰C

PES - 4. skupina vzorkov

40 g/l /8g/ ostacetové farbivo, bola použitá Ostacetová brilantná modrá E - LR
0,2 - 0,5 g/l /0,lg/ Slovasol 0

35 - 45 g/l /8g/ Sokrat
pH 6 - 6,5 kyselinou octovou

teplota klocovania : 20⁰C

ba/PES - 5. skupina vzorkov

40 g/l /8g/ ostacetové farbivo,/pre podiel PES/ - Ostacetová brilantná modrá E - LR

40 g /l /8g/ ostazinové farbivo /pre podiel ba/ - Ostazinová brilantná modrá H - BR

50 - 100 g/l /10g/ močovina

30 g/l /6g/ Sokrat

10 - 20 g/l /3g/ sôda kalciovaná

5 - 10 g/l /1g/ Tiskan

0,5 g/l /0,lg/ Slovasol 0

teplota klocovania : 20⁰C

ba/PES - 6. skupina vzorkov

40 g/l /8g/ ostacetové farbivo /pre podiel PES/ - Ostacetová brilantná červeň E-LB

40 g/l /8g/ ostazinové farbivo /pre podiel ba/ - Ostazinová brilantná červeň H-B

50 - 100 g/l /10g/ močovina

30 g/l /6g/ Sokrat

10 - 20 g/l /3g/ sôda kalciovaná

5 - 10 g/l /1g/ Tiskan

0,5 g/l /0,1g/ Slovasol O

teplota kločovania : 20⁰C

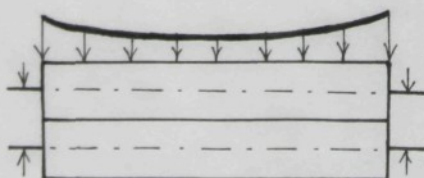
Pre jednotlivé skupiny vzorkov textilného materiálu bolo pred každým meraním pripravený 200 /ml/ farbiacej lázne. Obsah jednotlivých zložiek farbiacich lázni uvedených v prehľade bol prepočítaný na uvedené pripravované množstvo farbiacej lázne. Tieto hodnoty sú uvedené v zátvorkách.

III.4. Použitý fulár

Pri vlastnom farbení boli vzorky nakločované v príslušnom type lázne a odmačknuté medzi valcami fuláru. Povrch valcov fuláru bol zo špeciálnej pryže. Spodný valec uložený v ložiskách bol aktívne oháňaný. Vrchný valec sa dostával do styku so spodným valcom pákou a jeho pohyb bol vyvolaný tým, že bol k spodnému vlacu pripojovaný.

Prítlač medzi valcami bol vyvodený stačeným vzduchom a jeho hodnota sa dala zistíť.

Obrázok III.2. Znázorňuje rozloženie prítlaču v vstykovej ploche valcov fuláru.



Obr. III.2. Rozloženie prítlaču v vstykovej ploche valcov fuláru

III. 4.1. Stanovenie závislosti stupňa odmačku na prítlaku vyvodenom medzi valcami fuláru

K uskutočneniu vlastného merania bolo nutné zistiť závislosť stupňa odmačku na prítlaku vyvodenom medzi valcami fuláru. Táto závislosť bola zisťovaná pre každý druh materiálu. K meraniu boli použité vzorky uvedených troch druhov materiálu o rovnakých rozmeroch ako vzorky popísané v kap. III.2.

Je nutné uviesť, že z každého druhu nebol k dispozícii rovnaký počet vzorkov pre toto meranie. U každého zo vzorkov daného druhu bola na analytických váhach zistená hmotnosť m_1 /g/.

Závislosť bola zisťovaná pri jednotlivých druhoch materiálu ich farbením v lázňach uvedených v kap. III.3. Jeden druh materiálu bol farbený iba jednou z lázní, čo je následne uvedené.

ba :

40 g/l /8g/ Ostazinová brilantná modrá H - BR

50 - 200 g/l /20g/ močovina

20 g/l /4g/ sóda kalciovaná

teplota klocovania : 30°C

PES :

40 g/l /8g/ Ostacetová brilantná červen E - LB

0,2 - 0,5 g/l /0,1g/ Slovasol O

35 - 45 g/l /8g/ Sokrat

pH 6 - 6,5 kyselinou octovou

teplota klocovania : 20°C

ba/PES :

40 g/l /8g/ Ostacetová brilantná modrá E - LR

40 g/l /8g/ Ostazinová brilantná modrá H - BR

50 - 100 g/l /10g/ močovina

30 g/l /6g/ Sokrat

10 - 20 g/l /3g/ sôda kalciovaná

5 - 10 g/l /1g/ Tiskan

0,5 g/l /0,lg/ Slovasol 0

Teplota klocovania : 20⁰C

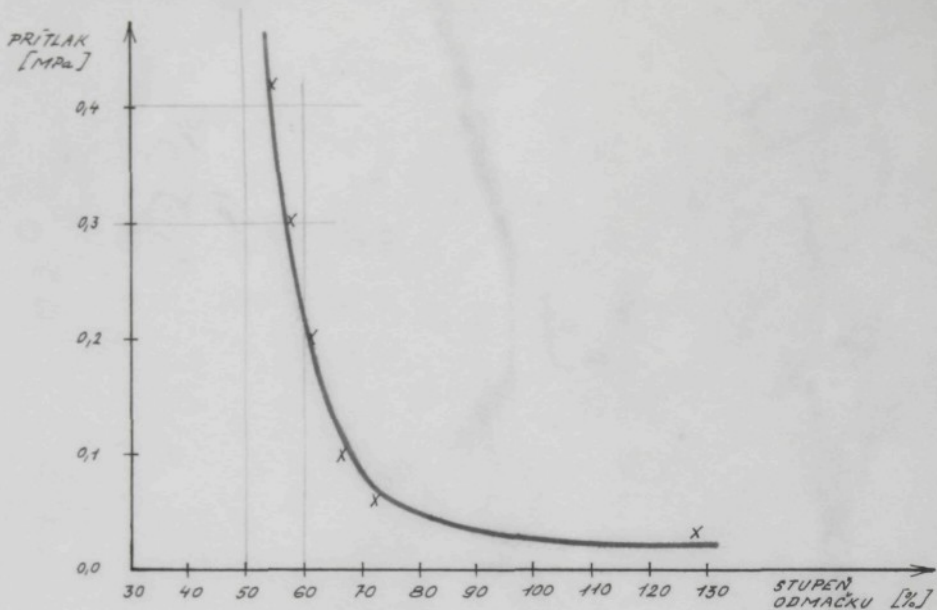
Každý vzorek daného druhu textílie bol nakločovaný v príslušnej lázni a odmačknutý medzi valcami fuláru, ktorých prítlak bol menený po odmačknutí každého vzorku. V zápäti po opustení vzorku valce fuláru boli zapnuté slobopky, aby bolo možné zistiť dobu, potrebnú na stanovenie hmotnosti vzorku na analytických váhach. Takto zistený čas, ktorý uplynul od okamžiku opustenia ofarbenej textílie valce fuláru po odčítanie hmotnosti na analytických váhach, bol potom dodržiavaný pri určovaní plošnej hmotnosti a stupňa odmačku pri ďalšom meraní tzn., že pri vlastnom meraní bola plošná hmotnosť určovaná po uplynutí jednotného časového intervalu u každého ofarbeného vzorku.

Tabuľka III.2. Poskytuje hodnoty prítlaku a na ňom závislé hodnoty odmačku pri všetkých troch druhoch materiálov, ktoré boli farbené lázňami uvedenými v tejto kapitole.

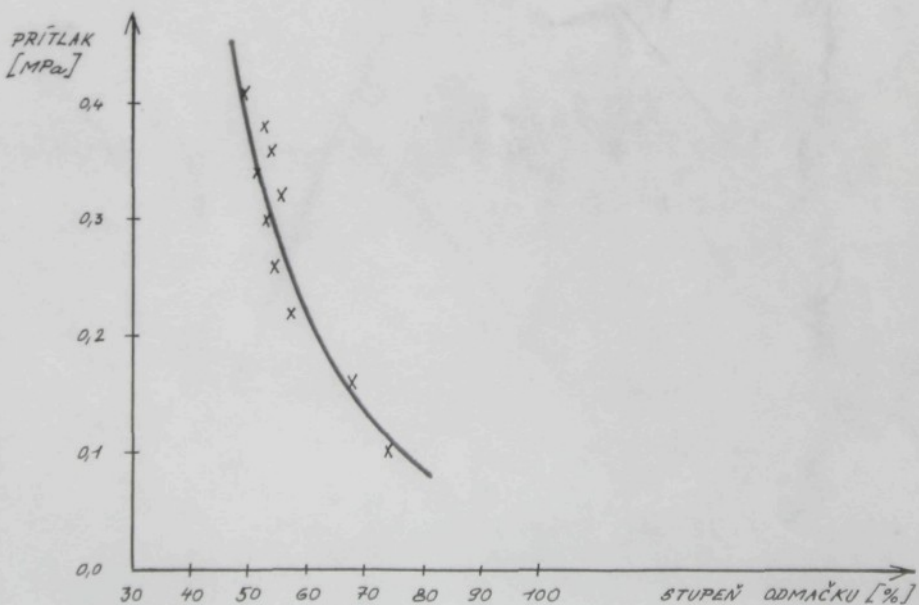
Materiál	Vzorek	Prítlak /MPa/	Stupeň odmačku %/
ba	1.	0,42	54,8
	2.	0,3	57,99
	3.	0,2	61,63
	4.	0,1	67,63
	5.	0,06	72,6
	6.	0,03	127,9
PES	1.	0,41	48,91
	2.	0,38	52,7
	3.	0,35	53,91
	4.	0,34	51,46
	5.	0,32	55,56
	6.	0,3	53,02
	7.	0,26	54,5
	8.	0,22	57,13
	9.	0,16	68,15
	10.	0,1	73,92
ba/PES	1.	0,34	36,69
	2.	0,28	38,21
	3.	0,24	40,26
	4.	0,20	39,55
	5.	0,15	42,71
	6.	0,1	47,45
	7.	0,06	51,35
	8.	0,03	68,37

Tab. III.2. Hodnoty prítlaku a na ňom závislé hodnoty stupňa odmačku pre jednotlivé materiály

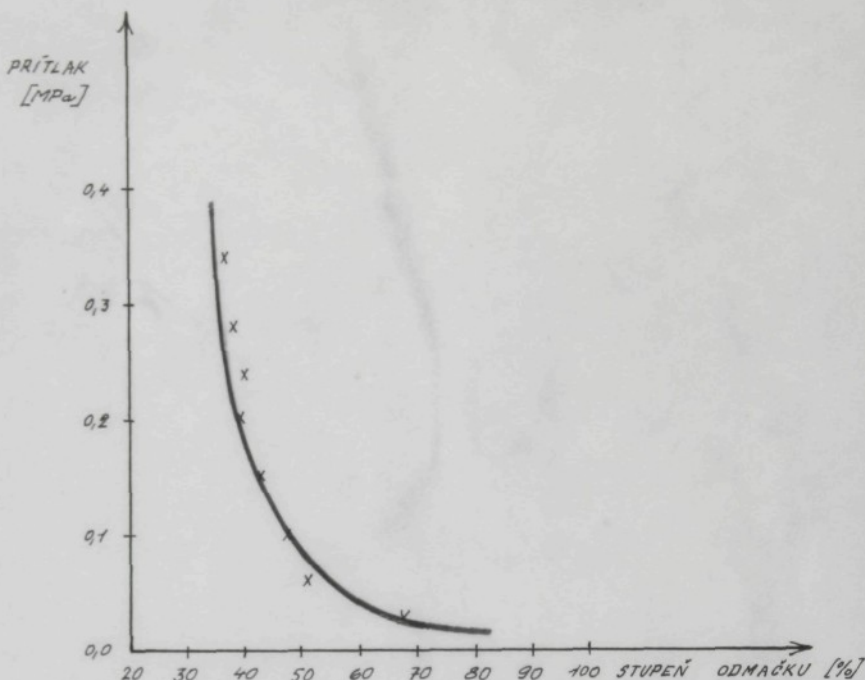
Grafické vyjadrenie tejto závislosti poskytujú nasledovné grafy III.1., III.2., III.3.



Graf III.1. Zistená závislosť pre bavlnu



Graf III.2. Zistená závislosť pre PES



Graf III.3. Zistená závislosť pre ba/PES

Z uvedených závislostí priebehu stupňa odmačku na hodnote prítlaku vyvolanom medzi valcami fuláru bude možné pri ďalšom meraní určiť hodnotu prítlaku, ktorý je nutné vyvodiť medzi valcami fuláru, aby bola dosiahnutá vopred stanovená hodnota stupňa odmačku pri vzorkoch jednotlivých druhov materiálu. Na základe zistených hodnôt v tabuľke III.2. a grafických závislostí III.1., III.2., III.3. možno vysloviť nasledovné konštatovanie, že čím väčší je prítlak medzi valcami, tým nižšia je príslušná hodnota stupňa odmačku.

Ďalším zistením je, že zmena hodnoty prítlaku medzi valcami v rozmedzí vyšších hodnôt vyvoláva malé zmeny v hodnotách stupňa odmačku. V oblasti nižších hodnôt prítlaku dochádza k veľkým zmenám hodnoty stupňa odmačku už pri veľmi malej zmene prítlaku.

Takýto trend možno pozorovať u všetkých troch uvedených materiálov, čo komplikovalo pri ďalšom meraní po technickej stránke nastavenie prítlaku tak, aby medzi

jeho dvoma nastavenými hodnotami bola zmena stupňa odmačku približne o rovnakú hodnotu.

III.5. Meranie plošnej hmotnosti textílií prežiarovacou metódou

Vlastné meranie plošnej hmotnosti prežiarovacou metódou bolo nutné určiť tak, aby bolo možné stanoviť hmotnostný súčiniteľ zoslabenia zvěžku žiarenia beta po priechode neofarbeným materiálom a v záplňti po ofarbení vzorku na fulári zistiť po priechode zvěžku žiarenia beta ofarbeným vzorkom stupeň odmačku, ktorý bol definovaný v kap. II.2.1. Závislosť zoslabenia zvěžku žiarenia beta na množstve nanesenej lázne bola vyjadrená vzťahom / II.17. /. Stupeň odmačku pre jednotlivé merané materiály závisí na veľkosti prítlaku. O tejto závislosti pojednáva kap. III.4.1.

Z uvedených výsledkov vyplýva, že zoslabenie zvěžku žiarenia beta je kombinovaným účinkom neofarbenej textílie a množstva nanesenej lázne na textíliu.

Pri meraní boli vzorky v meracom priestore voľne kladené na nosnú mriežku z tenkej silónovej nite uchytenú v obúžnikovom ráme.

Vzdialenosť vzorku od kolimačného krytu bola volená tak, aby prierez zvěžku žiarenia beta v mieste priechodu meraným materiálom bol vždy menší než plocha vzorku. Pre zaistenie optimálnych výsledkov je vhodné, aby prierez zvěžku žiarenia beta nebola podstatne menší než priemer vzorku. Uvedená úvaha vyplýva z práce / 12. /.

III.5.1. Postup merania

Pre dosiahnutie dobrej reprodukovateľnosti výsledkov bolo meracie zariadenie pred vlastným meraním zapnuté 1 1/2 hodiny. Táto doba bola postačujúca pre ustálenie parametrov elektrometra.

Pri presnom nastavení voltmetu podľa priloženého návodu bola zmeraná úroveň výstupného signálu zvěžku žiarenia beta pre dokonale tienený žiarič /pozadie detektora/ I_f // a veľkosť výstupného signálu zvěžku žiarenia beta zoslabeného len prie-

chodom vzduchovou vrstvou medzi zdrojom žiarenia beta a detektorom I_{of} ///. Uvedené hodnoty výstupných napäť boli merané vždy päťkrát v desaťsekundových intervaloch.

Po týchto operáciach bolo uskutočnené vlastné meranie so vzorkami, ktorých príprava a rozdelenie do skupín je uvedená v kap. III.2.

Vzorek bol odvážený na analytických váhach a potom položený na vyznačené miesto nosnej mriežky meracieho zariadenia. Na voltmetri bola odčítaná hodnota výstupného signálu odpovedajúca zoslabeniu zvžizku žiarenia beta po priechode neofarbenou textíliou I_{sf} ///. V zápätí bol meraný vzorek príslušného textilného materiálu kločovaný v lázni podľa rozpisu uvedenom v kap. III.3. a po nakločovaní vzorku bolo z neho odžímnuté prebytočné množstvo lázne medzi valcami fuláru pri nastavenej hodnote prítlaku. Po opustení vzorku valce fuláru boli zaonuté stopky a na analytických váhach zistená hmotnosť príslušného vzorku. Hodnota hmotnosti bola odčítaná u všetkých vzorkov až po uplynutí jednotného časového intervalu, výd.kap. III.4.1. Vzorek bol opäť položený na vyznačené miesto nosnej mriežky a bola odčítaná hodnota výstupného signálu odpovedajúca zoslabeniu zvžizku žiarenia beta po priechode ofarbenou textíliou I_{tf} //.

Prítlaky boli nastavované na základe experimentálnych zistení, o ktorých pojednáva kap. III.4.1. tak, že pri farbení daného druhu materiálu príslušnou lázňou boli vyvodené tri rôzne veľkosti prítlaku a pri každom z nich boli odmačknuté tri vzorky daného materiálu ofarbené príslušnou lázňou.

Hodnoty výstupných signálov zvžizku žiarenia beta odpovedajúce zoslabeniu :
po priechode vzduchovou vrstvou I_{of} ///, po priechode vzorkom neofarbenej textílie I_{sf} /// a po priechode vzorkom ofarbenej textílie I_{tf} /// boli pri každom vzorku merané päťkrát v desaťsekundových intervaloch. Z týchto hodnôt boli potom určené priemerné hodnoty uvedených výstupných signálov \bar{I}_{of} , \bar{I}_{sf} , \bar{I}_{tf} ///.

Hodnota výstupného signálu zvžizku žiarenia beta pre momentálne tienaný žiarič I_f /// bola päťkrát odčítavaná v desaťsekundových intervaloch vždy pred začatím merania príslušnej skupiny vzorkov i po skončení merania. Z týchto desiatich hodnôt

bola potom stanovená stredná hodnota výstupného signálu zvěžzku žiarenia beta pre dokonale tienený žiarič \bar{T}_f N/.

III. 5.2. Tabuľky nameraných a vypočítaných hodnôt

V tabuľke III.3. je uvedený prehľad priemerných plošných hmotností jednotlivých skupín vzorkov pred farbením $\bar{m}_s / \text{kg} \cdot \text{m}^{-2}$ a priemerných plošných hmotností jednotlivých skupín vzorkov po farbení $\bar{m}_t / \text{kg} \cdot \text{m}^{-2}$ / príslušným druhom farbiacej lázne.

Skupina vzorkov	Materiál	$\bar{m}_s / \text{kg} \cdot \text{m}^{-2}$	$\bar{m}_t / \text{kg} \cdot \text{m}^{-2}$
1.	ba	0,1599	0,2852
2.	ba	0,1615	0,2858
3.	PES	0,1864	0,2976
4.	PES	0,1865	0,3019
5.	ba/PES	0,1653	0,2394
6.	ba/PES	0,1655	0,2426

Tabuľka III.3. Priemerné plošné hmotnosti jednotlivých skupín vzorkov

V tabuľkách III.4., III.5., III.6., III.7., III.8., III.9. sú namerané a vypočítané hodnoty pre jednotlivé skupiny meraných vzorkov.

ba		$\bar{T}_f = - 0,0046$			
Prítlak /MPa/	$\bar{T}_0 / \text{V}/$	$\bar{T}_s / \text{V}/$	$\bar{T}_t / \text{V}/$	$\ln \frac{\bar{T}_0}{\bar{T}_s}$	$\mu_s / \text{m}^2 \cdot \text{kg}^{-1}/$
0,1	3,6640	2,4802	1,9036	0,39021	2,3852
	3,6604	2,4914	1,9296	0,38472	2,4067
	3,6668	2,5346	2,0028	0,36928	2,3734
0,08	3,6610	2,4960	1,8934	0,38305	2,3945
	3,6616	2,4948	1,8834	0,38369	2,4132
	3,6592	2,4770	1,8970	0,39019	2,4109
0,06	3,6620	2,4950	1,7984	0,38371	2,4053
	3,6618	2,5062	1,7974	0,37919	2,3769
	3,6600	2,4868	1,8082	0,38647	2,4104

Tabuľka III.4. Namerané a vypočítané hodnoty pre 1. skupinu vzorkov

ba		$\bar{T}_f = + 0,0031$			
Prítlak /MPa/	$\bar{t}_0/V/$	$\bar{t}_s/V/$	$\bar{t}_t/V/$	$\ln \frac{\bar{T}_0}{\bar{T}_s}$	$\mu_s/m^2 \cdot kg^{-1}/$
	3,6437	2,4787	1,9145	0,38526	2,3682
0,12	3,6421	2,5073	1,9025	0,37335	2,3631
	3,6367	2,4743	1,8827	0,38512	2,3602
	3,6401	2,4711	1,8209	0,38735	2,3816
0,1	3,6393	2,4737	1,8477	0,38608	2,3962
	3,6365	2,4625	1,8517	0,38984	2,3752
	3,6425	2,4921	1,8357	0,37954	2,4043
0,08	3,6395	2,4625	1,8155	0,39067	2,4211
	3,6361	2,4673	1,8443	0,38779	2,3879

Tabuľka III.5. Namerané a vypočítané hodnoty pre 2. skupinu vzorkov

PES		$\bar{T}_f = - 0,0024$			
Prítlak /MPa/	$\bar{t}_0/V/$	$\bar{t}_s/V/$	$\bar{t}_t/V/$	$\ln \frac{\bar{T}_0}{\bar{T}_s}$	$\mu_s/m^2 \cdot kg^{-1}/$
	3,6214	2,3968	1,9810	0,41273	2,2862
0,4	3,6244	2,3922	1,9550	0,41548	2,2832
	3,6204	2,3348	1,8768	0,43866	2,2614
	3,6182	2,3904	1,8844	0,41452	2,2787
0,2	3,6222	2,3428	1,8136	0,43573	2,2858
	3,6168	2,3566	1,8444	0,42837	2,2783
	3,6178	2,3660	1,8264	0,42467	2,2529
0,14	3,6180	2,3626	1,8294	0,42616	2,2741
	3,6186	2,3726	1,8612	0,42210	2,2819

Tabuľka III.6. Namerané a vypočítané hodnoty pre 3. skupinu vzorkov

PES	$\bar{T}_f = -0,0018$				
Prítlak /MPa/	$\bar{T}_0/V/$	$\bar{T}_s/V/$	$\bar{T}_t/V/$	$\ln \frac{\bar{T}_0}{\bar{T}_s}$	$\mu_s/m^2 \cdot kg^{-1}/$
0,41	3,6164	2,3634	1,9368	0,42538	2,2993
	3,6188	2,3578	1,9306	0,42841	2,2923
	3,6180	2,3770	1,9608	0,42006	2,2905
0,2	3,6158	2,3930	1,9048	0,41277	2,2882
	3,6202	2,3612	1,8598	0,42736	2,2769
	3,6214	2,3478	1,8332	0,43338	2,2921
0,14	3,6158	2,3486	1,7820	0,43149	2,2887
	3,6124	2,3546	1,7726	0,42800	2,2811
	3,6118	2,3330	1,7686	0,43705	2,3038

Tabuľka III.7. Namerané a vypočítané hodnoty pre 4. skupinu vzorkov

ba/PES	$\bar{T}_f = -0,0016$				
Prítlak /MPa/	$\bar{T}_0/V/$	$\bar{T}_s/V/$	$\bar{T}_t/V/$	$\ln \frac{\bar{T}_0}{\bar{T}_s}$	$\mu_s/m^2 \cdot kg^{-1}/$
0,2	3,6178	2,4302	2,0454	0,39789	2,4118
	3,6206	2,4372	2,0550	0,39579	2,3869
	3,6168	2,4392	2,0616	0,39392	2,3989
0,12	3,6248	2,4330	2,0298	0,39867	2,4155
	3,6234	2,4190	2,0060	0,40406	2,4217
	3,6246	2,4398	2,0168	0,39583	2,4007
0,07	3,6204	2,4276	2,0008	0,39968	2,4092
	3,6272	2,4352	1,9878	0,39843	2,4067
	3,6258	2,4410	1,9704	0,39567	2,4042

Tabuľka III.8. Namerané a vypočítané hodnoty pre 5. skupinu vzorkov

ba/PES	$\bar{T}_f = - 0,0079$				
Prítlak /MPa/	$\bar{T}_o/V/$	$\bar{T}_s/V/$	$\bar{T}_t/V/$	$\ln \frac{\bar{T}_o}{\bar{T}_s}$	$\mu_s/m^2 \cdot kg^{-1}/$
0,21	3,6247	2,4433	2,0473	0,39442	2,3836
	3,6293	2,4347	2,0597	0,39922	2,4125
	3,6363	2,4405	2,0479	0,39876	2,4098
0,12	3,6299	2,4393	2,0137	0,39749	2,4021
	3,6313	2,4311	2,0157	0,40125	2,4248
	3,6287	2,4361	2,0009	0,39848	2,4081
0,07	3,6331	2,4303	1,9499	0,40207	2,4298
	3,6339	2,4337	1,9483	0,40089	2,4227
	3,6355	2,4427	1,9637	0,39764	2,4030

Tabuľka III.9. Namerané a vypočítané hodnoty pre 6. skupinu vzorkov

III. 5.3. Prehľad použitých vzťahov

Stredná hodnota výstupného signálu pre zväzok žiarenia beta zoslabený iba priečodom vzduchovou vrstvou korigovaný vzhládom k pozadiu detektora :

$$\bar{T}_b = \bar{T}_{bf} - \bar{T}_f \quad //$$

Stredná hodnota výstupného signálu odpovedajúceho zoslabenia zväzku žiarenia beta po priečode neofarbenou textíliou korigovaný vzhládom k pozadiu detektora :

$$\bar{T}_s = \bar{T}_{sf} - \bar{T}_f \quad //$$

Stredná hodnota výstupného signálu odpovedajúceho zoslabeniu zväzku žiarenia beta po priečode ofarbenou textíliou korigovaný vzhládom k pozadiu detektora :

$$\bar{T}_t = \bar{T}_{tf} - \bar{T}_f \quad //$$

Hmotnosťný súčiniteľ zoslabenia zväzku žiarenia beta neofarbenej textílie :

$$C^u_s = \frac{1}{m_s} \cdot \ln \frac{\bar{T}_b}{\bar{T}_s} \quad /m^2 \cdot kg^{-1}/$$

m_s ... plošná hmotnosť vzorku textílie /kg $\cdot m^{-2}$ /

IV. Experimentálne výsledky a diskusia

Predkladaná práca v podstate navážuje na výsledky meraní uvedené v práci /9./. V tejto práci sa jej autor zaoberal zistovaním závislosti hmotnostného súčiniteľa zoslabenia žiarenia beta na strednom protónovom čísle plošného textilného materiálu. Pri určovaní tohto stredného protónového čísla bol braný v úvahu rovnovážny obsah vlhkosti obsiahnutý v textilií pri rádiometrickom meraní. Získané výsledky však nebolo možné vyjadriť jednoznačnou funkčnou závislosťou akú možno získať v podstate v širšom intervalu stredných protónových čísel napr. pomocou fólií čistých kovov.

Znalosť uvedenej závislosti v rozsahu stredných protónových čísel odpovedajúcich obvyklým textilným materiálom jednozložkovým i zmesovým je rozhodujúcim hľadiskom pri posudzovaní možnosti určenia plošnej hmotnosti rôznych textilných materiálov.

Jednou z významných aplikačných možností rádiometrickej metódy založenej na zoslabení primárneho zväzku žiarenia beta je zistovanie zušľachtovacej lázne nanesenej na textiliu po odstránení nadbytočného množstva tejto lázne.

Predbežný teoretický rozbor možnosti zistovania obsahu nánosu na plošných textiliach bol na základe niektorých zjednodušujúcich predpokladov uskutočnený v práci /12./. V tejto práci bolo predpokladané, že zoslabenie zväzku žiarenia beta je možné vyjadriť obvyklou exponenciálnou závislosťou a že hmotnostné súčinitele zoslabenia žiarenia beta textilného materiálu a zušľachtovacej lázne sú rovnaké.

Z meraní uskutočnených s preklepovým papierom a strednej plošnej hmotnosti približne $0,03 \text{ kg} \cdot \text{m}^{-2}$ vyplýva, že zoslabenie zväzku žiarenia beta meraným materiákom je možné v rozsahu plošných hmotností od $0,115 \text{ kg} \cdot \text{m}^{-2}$ do približne $0,3 \text{ kg} \cdot \text{m}^{-2}$ vyjadriť v obvyklom exponenciálnom tvare :

$$I = I_0 \cdot \exp^{-\alpha u \cdot m}$$

čo nám umožnilo v kapitole III.5.2. uskutočniť výpočet hmotnostného súčiniteľa zoslabenia zväzku žiarenia beta použitého textilného materiálu podľa vzťahu :

$$\alpha_s = \frac{1}{m_s} \cdot \ln \frac{T_0}{T_s}$$

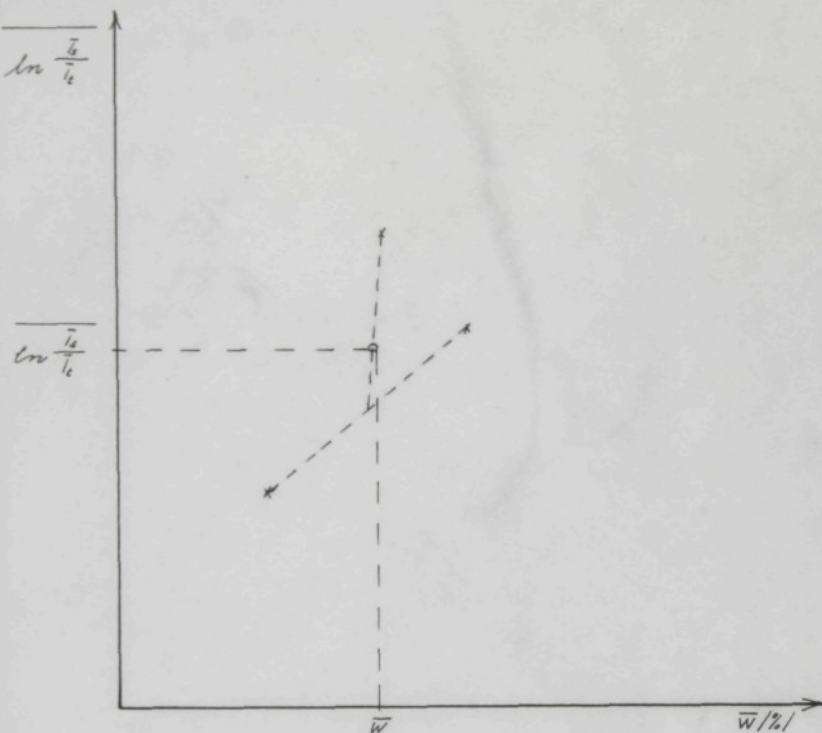
Taktô vypočítané hodnoty $\bar{\mu}_s$ sú pre jednotlivé skupiny vzorkov uvedené v tabuľkách III.4., III.5., III.6., III.7., III.8. a III.9. Z týchto hodnôt bol vypočítaný priemerný hmotnosný súčinieľ zoslabenia zvžuku žiarenia beta textilným materiálom a smerodatná odchýlka hmotnosnho súčinieľa zoslabenia zvžuku žiarenia beta textilným materiálom pre jednotlivé skupiny vzorkov. Tieto hodnoty sú uvedené v tabuľke IV.1.

Materiál	Skupina vzorkov	$\bar{\mu}_s / \text{m}^2 \cdot \text{kg}^{-1}$	$\sigma_{\bar{\mu}_s} / \text{m}^2 \cdot \text{kg}^{-1}$
ba	1.	2,3974	0,0154
ba	2.	2,3842	0,0203
PES	3.	2,2758	0,0114
PES	4.	2,2903	0,0082
ba/PES	5.	2,4062	0,0102
ba/PES	6.	2,4107	0,0141

Tabuľka IV.1. Hodnoty stredného hmotnosnho súčinieľa zoslabenia žiarenia beta a smerodatnej odchýlky hmotnosnho súčinieľa zoslabenia žiarenia beta

Aj keď určenie μ_s nebolo hlavným cieľom tejto diplomovej práce, aj tak dosiahnuté výsledky potvrdzujú predpoklad o závislosti hmotnosnho súčinieľa zoslabenia zvžuku žiarenia beta textilného materiálu na strednom protónovom čísle charakterizujúcim textilný materiál, čo bolo predmetom práce /9./.

Hlavným cieľom meraní bolo určenie hmotnosných súčinieľov charakterizujúcich jednotlivé farbiace lázne μ_b , ktoré bolo možné určiť obdobným spôsobom ako hodnoty μ_s . Vzhľadom k tomu, že týmto spôsobom určované hodnoty μ_b vykazovali značný rozptyl, bol výpočet uskutočnený tak, že pre jeden prítlak bol tri nezávislé merania nahradené jedným. Tento spôsob ustrednenia troch hodnôt stupňa odmačku pri jednom prítlaku obecne znázorňuje obrázok IV.1.



Obr. IV.1. Spôsob nahradenia troch nezávislých meraní stupňa odmačku pri jednom prítlaku jedným bodom

Z obrázka IV.1. vyplýva, že jedna trojica experimentálnych bodov bola nahradená jedným bodom, ktorému odpovedá stredná hodnota stupňa odmačku $\bar{w} \text{ \%}$ a stredná hodnota logaritmu pomerov $\frac{T_s}{T_t}$.

Na základe taktiež získaných hodnôt bola metódou najmenších štvorcov určená najpravdepodobnejšia hodnota $\bar{\alpha}_b$, čo ukazuje naznačený postup :

$$\ln \frac{T_s}{T_t} = \frac{\bar{\alpha}_b \cdot \bar{w} \cdot \bar{m}_s}{100}$$

kde :

$$\frac{\overline{\mu}_b \cdot \overline{m}_s}{100} = k$$

$$\ln \frac{\overline{T}_s}{\overline{T}_t} = y_i \quad a \quad \overline{w} = x_i$$

y_i ... stredná hodnota logaritmu pomerov $\frac{\overline{T}_s}{\overline{T}_t}$ pri i - tej hodnote prítlaču

pri meraní vzorkov rovnakého druhu textilného materiálu jednou zušľachťovačou lázňou

x_i ... stredná hodnota stupňa odmažku pri i - tom prítlaču pri meraní vzorkov rovnakého druhu textilného materiálu jednou zušľachťovačou lázňou

Z uvedených sústitúcii vyplýva vzťah :

$$y_i = k \cdot x_i, \text{ kde } k \text{ bolo počítané podľa vzťahu :}$$

$$k = \frac{\sum_{i=1}^n x_i \cdot y_i}{\sum_{i=1}^n x_i^2}$$

V konkrétnom prípade meraní tejto práce $n = 3$, pretože boli merané pri jednom prítlaču tri vzorky. Potom pre určenie $\overline{\mu}_b$ plynne vzťah :

$$\overline{\mu}_b = \frac{100 \cdot k}{\overline{m}_s}$$

$\overline{\mu}_b$... stredná hodnota hmotnosného súčinitel'a zoslabenia zvážku žiarenia beta charakterizujúca príslušný druh farbiacej lázne

Vypočítané hodnoty $\overline{\mu}_b$ pre jednotlivé skupiny farbiacich lázní sú uvedené v tabuľke IV.2.

Druh farbiacej lázne	$\bar{\mu}_b / \text{m}^2 \cdot \text{kg}^{-1}$
1.	2,2605
2.	2,3015
3.	2,1009
4.	2,0588
5.	2,5022
6.	2,5224

Tabuľka IV.2. Stredné hodnoty hmotnosného súčiniteľa zoslabenia žiarenia beta pre jednotlivé druhy lázni

Pri porovnaní hodnôt $\bar{\mu}_b$ a $\bar{\mu}_s$ je zrejmé, že hmotnosné súčinitele zoslabenia žiarenia beta textilného materiálu a zušľachtovacej lázne nie sú rovnaké. Tiež hodnoty $\bar{\mu}_b$ sa u jednotlivých druhov lázni líšia a ich hodnota je zrejme závislá na zložkách lázne a ich koncentrácií v danej lázni.

Z týchto zistiení vyplýva, že pri prípadnom praktickom použití rádiometrickej metódy pre kontrolu množstva nanesenej lázne, prípadne pre nastavenie množstva nánosu farbiacej lázne je treba brať v úvahu rozdiely $\bar{\mu}_b$ a $\bar{\mu}_s$. Tieto rozdiely je nutné brať v úvahu aj pri prípadnom použití rádiometrickej metódy pre reguláciu prítlakov medzi valcami fuláru, pri regulácii otáčok alebo ponoru bradiaceho valca pri mikronánose, pri nastavení sterky, otáčok valcovej sterky alebo rotačnej sterky pri aplikácii penových systémov. Takáto regulácia otáčok dávkovacieho čerpadla na základe postupnej rýchlosťi textílie pri zariadení pre minimálny nános z dosky prináša významné úspory energie a úpravníckych prostriedkov.

Postup zakreslený na obrázku IV.1. predstavuje v podstate nájdanie cejchovnej závislosti pre určenie stupňa odmačku na základe rádiometricky zistených veľkostí výstupných signálov \bar{I}_s a \bar{I}_t .

Pre určenie stupňa odmačku je účelné vzťah :

$$\ln \frac{\bar{T}_s}{\bar{T}_t} = \frac{\bar{\mu}_b * \bar{m}_s * \bar{w}}{100}$$

prepísat' do tvaru :

$$\bar{w} = \frac{100}{\bar{\mu}_b * \bar{m}_s} * \ln \frac{\bar{T}_s}{\bar{T}_t}$$

v ktorom je veľkosť stupňa odmačku vyjadrená ako funkcia premenných \bar{T}_s , \bar{T}_t , \bar{m}_s , $\bar{\mu}_b$.

Na základe tohto vzťahu je možné odvodiť výraz pre chybu určenia stupňa odmačku. Pri určovaní chyby stanovenia stupňa odmačku by zásadne mala byť vzatá v úvahu presnosť určenia $\bar{\mu}_b$, \bar{m}_s , \bar{T}_s , \bar{T}_t . Z týchto veličín však iba presnosť určenia veličín \bar{T}_s a \bar{T}_t je podmienená použitím rádiometrickej metódy. Presnosť určenia $\bar{\mu}_s$ a $\bar{\mu}_b$ je rozhodujúcim spôsobom závislá na presnosti váženia neofarbenej textílie a textílie s obsahom aplikovanej farbiacej lázne. Presnosti určení týchto veličín sú podstatne horšie než presnosti dosiahnuteľné pri určovaní \bar{T}_s a \bar{T}_t .

Aby bolo možné získať predstavu o presnosti určenia stupňa odmačku dosiahnuteľnej rádiometrickou metódou, neboli chyby súvisiace s určovaním $\bar{\mu}_s$ a $\bar{\mu}_b$ vzaté v úvahu pri stanovení celkovej chyby určenia stupňa odmačku $\bar{w} \text{ \%}$.

Pre smerodatnú odchylku určenia stupňa odmačku bol odvodený nasledujúci vzťah :

$$\sigma_{\bar{w}} = \frac{100}{\bar{\mu}_b * \bar{m}_s} * \sqrt{\left(\frac{\partial \bar{w}}{\partial \bar{T}_s} * \sigma_{\bar{T}_s} \right)^2 + \left(\frac{\partial \bar{w}}{\partial \bar{T}_t} * \sigma_{\bar{T}_t} \right)^2}$$

$\sigma_{\bar{T}_s}$... smerodatná odchylka aritmetického priemeru výstupného signálu I_s

$\sigma_{\bar{T}_t}$... smerodatná odchylka aritmetického priemeru výstupného signálu I_t

Tento vzťah vyjadruje štatistickú chybu určenia stupňa odmačku podmienenú iba štatistickým charakterom jaderného rozpadu. Nezahrňuje metodickú chybu merania podmienenú fluktuáciou oplšnej hmotnosti textilného materiálu.

Pre chybu určenia odmačku $\Delta \bar{w}$ odpovedajúcu 95 % -nej hladine významnosti potom plynie, že :

$$\Delta \bar{w} = \pm 2 \cdot \sigma_{\bar{w}}$$

Týmto spôsobom boli vypočítané chyby určenia stupňa odmačku pre všetky použité textilné materiály. Výsledky sú uvedené spolu so strednými hodnotami stupňa odmačku v tabuľke IV.3.

Materiál	Skupina vzorkov	Prítlak /MPa/	$\bar{w} /%$	$\Delta \bar{w} /%$
ba	1.	0,1	69,50	1,41
		0,08	77,50	1,14
		0,06	87,75	2,58
ba	2.	0,12	73,60	0,89
		0,1	76,60	1,10
		0,08	80,80	1,34
PES	3.	0,40	52,10	0,88
		0,20	61,00	1,64
		0,14	65,70	1,58
PES	4.	0,41	52,40	1,23
		0,2	62,30	1,81
		0,14	71,00	1,80
ba/PES	5.	0,2	41,75	1,48
		0,12	44,35	0,98
		0,07	48,35	0,90
ba/PES	6.	0,21	41,65	1,09
		0,12	46,05	1,10
		0,07	52,50	1,49

Tabuľka IV.3. Hodnoty stredného stupňa odmačku a chyby určenia stupňa odmačku

Uvedené presnosti by vo väčšine prípadov vyhovovali požiadavkám kladeným na presnosť určenia stupňa odmačku. Z dôvodov už uvedených, sú však tieto presnosti prakticky nerealizovateľné vzhľadom k nepresnosťiam predovšetkým v určovaní *bu* b°.

Ak by sa dokonale zvládla metóda váženia sfarbenej textílie, vytvorili by sa tak predpoklady pre dosiahnutie vyššej presnosti určenia stupňa odmačku, za ktorého limitujúcu hodnotu je možné považovať presnosť podmienenú iba štatistickým charakterom jaderného rozpadu.

Na základe popísaných výsledkov a uskutočnenia meraní v statických laboratórnych podmienkach je možné vytvoriť si hrubú základnú predstavu o presnosti meraní dosiahnitej pri kontinuálnom spôsobe merania.

V. ZÁVER

V tabuľke IV.3. sú uvedené chyby určenia množstva nánosu farbiacej látke aplikovanej na textilné materiály zahrňujúce vplyv štatistického charakteru jaderného rozpadu. Tieto chyby predstavujú zrejme minimálnu chybu dosiahnuteľného pomocou poísaného experimentálneho usporiadania pri kontinuálnom spôsobe merania.

Uvedené výsledky v predchádzajúcej časti ukazujú, že prežiarovacou metódou je možné zaistiť takú presnosť merania množstva nanesenej látke na textilný materiál, ktorá je postačujúca v mnohých praktických aplikáciách.

Pri použití tejto metódy je však nutné brať v úvahu fluktuáciu plošnej hmotnosti textílie, závislosť hmotnostného súčiniteľa zoslabenia žiarenia beta na druhu textilného materiálu a tiež závislosť hmotostného súčiniteľa zoslabenia zväzku žiarenia zušľachtovacej látke na jej zložení.

Dosiahnutie vyššej presnosti merania by umožnilo priebežné korigovanie výstupného signálu meracieho zariadenia s ohľadom na okamžitú veľkosť plošnej hmotnosti textilného materiálu.

Vyriešenie otázky závislosti hmotostného súčiniteľa zoslabenia žiarenia beta na zložení zušľachtovacej látke a na koncentrácií jej zložiek, by rozšírilo aplikačné možnosti tejto metódy v textilnom obore.

VI. OBOZNÁMENIE S AUTORSKÝMI NÁROKMI

Prehľasujem, že som bola oboznámená s autorskými nárokmi vztahujúcimi sa na diplomovú prácu, na tiskopise vydanom Ústrednou knihovňou VŠST.

VII. POUŽITÁ LITERATÚRA

- /1./ Clayton, C.G. - Cameron, J.F.: A - Review of the design and application of radioisotope instruments in Industry. In : Radioisotope Instruments in Industry and Geophysics. Vol. 1, Vienna, 1966, s.15.
- /2./ Šulc, J.: Měření plošné hmotnosti textilií prozařovací metodou. In : Sborník prací Vysoké školy strojní a textilní v Liberci. Liberec, 1976, s. 365.
- /3./ Thümmel,H.W., Isotopenpraxis, 12, 1976, s. 240.
- /4./ Kucharenko, I.W. a kol.: K voprosu o forme krivoj oslablenija potoka beta - izlučenija u veščestve. In : Radijacionnaja technika. Moskva,1971, s.94.
- /5./ Oppelt, J.: Radioisotopy, 10, 1969, s. 169.
- /6./ Hutyra, F. - Merínsky, J.: Systémový výskum měřících a automatizačních prostředků s radionuklidy. 1974/75 /Výskumná správa/ Tesla VÚPJT, Přemyšlení u Prahy, 1975.
- /7./ Šeda, J.- Šabol, J. - Kubálek, J.: Jaderná elektronika. 1.vyd. Praha,1977.
- /8./ ČSN 80 0067
- /9./ Halás, J.: Meranie plošnej hmotnosti textílií prežiarovacou metódou. /Diplomová práca /Liberec, 1981, VŠST.
- /10./ Percovskij, E. S. - Sacharov, V.: Radioizotropnyje pribory v piščevoj, legkoj i cellulozno - bumažnoj prmyšlenosti. Moskva, 1972.
- /11./ Broda, E. - Schönfeld, T.: Využití radioaktivity v technice, prvé vydanie. Praha, 1959.
- /12./ Šulc, J.: Zjištování množství nánosu technologického roztoku na textilním materiálu radiometrickou metodou. In: Sborník prací Vysokej školy strojní a textilní v Liberci. Liberec, 1980.

V285/T
V285/83